

УДК 538.221

# ИССЛЕДОВАНИЕ МАГНИТНОЙ АНИЗОТРОПИИ ТИПА «ЛЕГКАЯ ПЛОСКОСТЬ» И РАСПРЕДЕЛЕНИЯ НАМАГНИЧЕННОСТИ В ЭПИТАКСИАЛЬНЫХ ПЛЕНКАХ ФЕРРИТ-ГРАНАТОВ С ОРИЕНТАЦИЕЙ (100)

**Е. Н. Ильичева, Ю. А. Дурасова, Е. И. Ильяшенко, А. В. Матюнин,  
Б. В. Рандошкин**

(кафедра общей физики)

E-mail: randoshkin\_v\_v@hotbox.ru

**Исследованы монокристаллические пленки  $(\text{Bi},\text{Lu})_3(\text{Fe},\text{Ga})_5\text{O}_{12}$  и  $(\text{Bi},\text{Tm})_3(\text{Fe},\text{Ga})_5\text{O}_{12}$  с анизотропией типа «легкая плоскость», выращенные методом жидкокристаллической эпитаксии из переохлажденного раствора-расплава на подложках  $\text{Gd}_3\text{Ga}_5\text{O}_{12}$  с ориентацией (100). Обнаружено наличие двухосной магнитной анизотропии в плоскости пленки с осями, совпадающими с кристаллографическими направлениями [110] и [100]. Определены углы отклонения «легкой плоскости» от плоскости пленки.**

В настоящее время открываются интересные возможности применения Bi-содержащих монокристаллических пленок ферритов-гранатов (Вс-МПФГ) с анизотропией типа «легкая плоскость». Удачное сочетание гигантского фарадеевского вращения и относительно малой намагниченности насыщения ( $4\pi M_s \sim 200$  Гс) в таких пленках позволяет с их помощью решать целый ряд практических задач интегральной оптики, использовать их для визуализации полей рассеяния магнитных носителей информации и сверхпроводников, диагностики дефектов в металлических средах [1–3].

Вс-МПФГ составов  $(\text{Bi},\text{Lu})_3(\text{Fe},\text{Ga})_5\text{O}_{12}$  и  $(\text{Bi},\text{Tm})_3(\text{Fe},\text{Ga})_5\text{O}_{12}$  были выращены методом жидкокристаллической эпитаксии из переохлажденного раствора-расплава на подложках  $\text{Gd}_3\text{Ga}_5\text{O}_{12}$  с ориентацией (100). В процессе эпитаксиального роста в пленке формируется индуцированная ростовая магнитная анизотропия, причем константа одноосной анизотропии  $K_u$  отрицательна. В этом случае вектор намагниченности  $\mathbf{M}_s$  имеет планарную ориентацию и изотропное распределение в плоскости пленки. Под воздействием поля  $\mathbf{H}_z$ , перпендикулярного плоскости пленки, угол  $\beta$  между  $\mathbf{M}_s$  и полем  $\mathbf{H}_z$  меняется по закону

$$\cos \beta = \frac{H_z}{H_K},$$

где  $H_K = 2K_u/M_s$  — поле одноосной магнитной анизотропии. Угол поворота плоскости поляризации  $\Phi$  линейно растет с увеличением значения  $H_z$  вплоть до значения  $\Phi = \Phi_s$  при  $H_z = H_K$ . В ранее выполненной работе [4] было установлено, что исследуемые пленки действительно имеют достаточно протяженный линейный участок на кривой  $\Phi(H_z)$ .

Для решения многих вопросов практического применения исследуемых пленок, а также понимания особенностей динамического поведения намагниченности в них необходимо более подробное изучение магнитной анизотропии в плоскости пленки и ее влияния на ориентацию векторов намагниченности, влияния плоскостных магнитных полей  $H_x$  и  $H_y$  на чувствительность пленки к воздействию внешнего поля  $H_z$ .

Исследованию этих проблем и посвящена настоящая работа.

## Эксперимент

Методика исследования основана на магнитооптическом эффекте Фарадея. Комплекс измерительной аппаратуры позволял проводить наблюдение доменной структуры, регистрировать петли гистерезиса на экране осциллографа и снимать кривую намагничивания  $M_z(H_z)$ .

Процессы квазистатического намагничивания и перемагничивания были исследованы на магнитооптической установке, состоящей из Не–Не лазера, электромеханического модулятора света, анализатора и поляризатора, намагничивающих устройств, которые создают однородные в объеме образца магнитные поля  $H_z$ ,  $H_x$  и  $H_y$ , и фотодетектора [5]. Образец мог вращаться в плоскости, перпендикулярной полю  $H_z$ . Азимутальный угол поворота  $\varphi$  отсчитывался по лимбу, жестко связанному с перемагничивающим устройством. Начало отсчета совпадало с одним из направлений осей [110]. При снятии кривых намагничивания  $M_z(H_z)$  в больших полях (до 4.5 кЭ) использовался электромагнит с продольным каналом для прохождения лазерного луча. Для создания относительно слабых полей (до 200 Э) применяли две ортогональные пары

катушек Гельмгольца, создающие нормальное  $H_z$  и планарное  $H_x$  магнитные поля. Пленка вместе с перемагничивающим устройством могла вращаться вокруг вертикальной оси; при этом нормаль к пленке, оставаясь в горизонтальной плоскости, образовывала угол  $\psi$  с волновым вектором  $\mathbf{k}$ . Угол поворота анализатора отсчитывался с точностью до  $0.1^\circ$ , а степень гашения света парой анализатор–поляризатор составляет  $3 \times 10^5$ .

Доменную структуру наблюдали с помощью поляризационного микроскопа. Для повышения контраста доменной структуры использовали конденсор косого освещения [6].

Параметры некоторых из исследованных пленок приведены в таблице, где  $h$  — толщина пленки,  $\theta_0$  — угол выхода векторов намагниченности из плоскости пленки,  $\alpha = \Phi_l/\Phi_s$ , где  $\Phi_l$  — угол фараадеевского вращения в конце линейного участка кривой  $\Phi(H_z)$ .

#### Параметры Вс-МПФГ $(\text{Bi},\text{R})_3(\text{Fe},\text{Ga})_5\text{O}_{12}$ с ориентацией (100)

Образец №	R	$h$ , мкм	$\Phi_s$ , град	$\theta_0$ , град	$H_K$ , Э	$\alpha$
1	Lu	1.0	1.0	—	500	1.0
2	Lu	4.0	4.8	4.67	580	0.75
3	Lu	1.8	1.5	3.17	430	0.99
4	Lu	3.9	4.0	1.3	500	0.90
5	Lu	2.3	2.25	1.3	440	0.80
6	Lu	2.0	2.0	—	700	0.75
7	Lu	6.0	6.0	1.77	820	0.83
8	Tm	4.8	4.6	2.83	700	0.60
9	Tm	4.0	3.6	7.0	630	0.70
10	Tm, Lu	3.0	2.8	4.5	400	0.60
11	Tm	4.2	4.1	5.1	600	0.60

### Доменная структура

Доменная структура, наблюданная в состоянии остаточной намагниченности, имеет слабый контраст и представляет собой макродомены, разделенные прямыми доменными стенками (ДС) с углами между ними  $90$  и  $135^\circ$  (рис. 1). Направления ДС соответствуют направлениям кристаллографических осей [100] и [110] в кубическом кристалле. Для рассматриваемого случая отрицательной константы кубической анизотропии ( $K_1 < 0$ ) направление [110] соответствует промежуточной оси легкого намагничивания (ОЛН), а направление [100] — оси трудного намагничивания (ОТН). 180-градусные ДС направлены вдоль ОЛН, а 90-градусные — вдоль ОТН.

Слабый контраст доменной структуры указывает на то, что вектор  $\mathbf{M}_s$  ориентирован близко к плоскости пленки, отклоняясь от нее на небольшой угол  $\theta_0$ . Наиболее вероятное пространственное

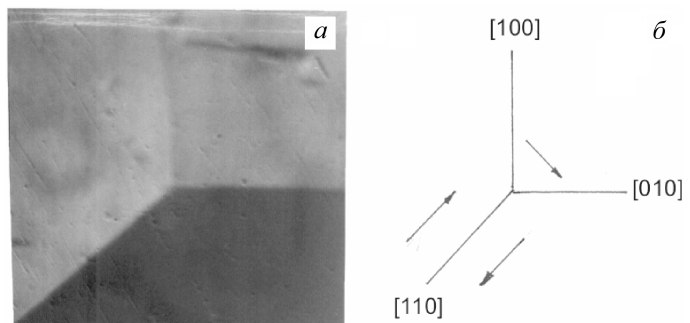


Рис. 1. Доменная структура (а) и распределение компоненты  $M_x$  вектора намагниченности (б) для образца № 9

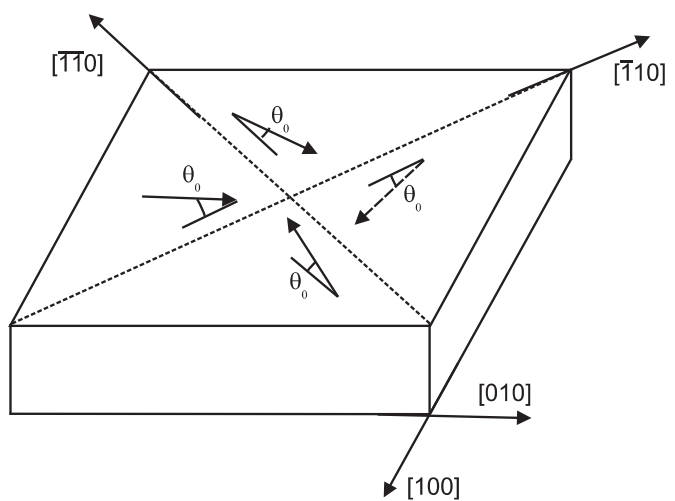


Рис. 2. Пространственная ориентация вектора намагниченности  $\mathbf{M}_s$  для исследованных пленок

распределение векторов намагниченности, вытекающее из условия замыкания магнитного потока, для исследуемых пленок представлено на рис. 2. По обе стороны ДС, параллельной оси типа [110], компоненты  $M_x$  вектора намагниченности противоположны по знаку, а компоненты  $M_z$  не изменяются. Отсюда следует, что ДС, направленные вдоль ОЛН, являются  $(180 - 2\theta_0)$ -градусными. По обе стороны ДС, параллельной оси типа [100], компоненты  $M_z$  вектора намагниченности противоположны по знаку, а угол между компонентами  $M_x$  равен  $90^\circ$ .

### Петли гистерезиса

Наличие магнитной анизотропии типа «легкая плоскость» проявляется также на поперечных петлях гистерезиса  $M_z(H_x, \varphi)$ . Характерной особенностью этих петель является многообразие их форм при изменении угла  $\varphi$ . При некоторых характерных углах  $\varphi$  на экране осциллографа появлялась горизонтальная линия с однополярными сигналами перемагничивания (рис. 3, а). Эта горизонтальная линия соответствует состоянию насыщения полем  $H_x$ ,

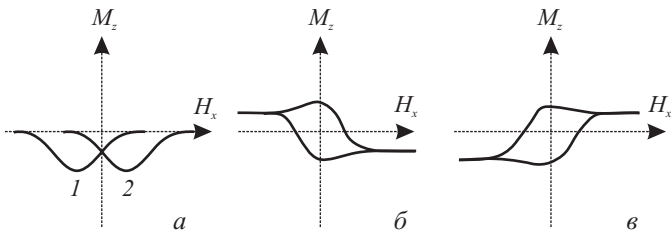


Рис. 3. Поперечные петли гистерезиса  $M_z(H_x)$  для образца № 8 при амплитуде переменного поля  $H_x = 7.5$  Э и разных азимутальных углах  $\varphi$ : 0 (а);  $+2^\circ$  (б) и  $-2^\circ$  (в)

а точки 1 и 2 — переходу через размагниченное состояние. Направления, которым соответствует рис. 3, а, повторяются примерно через  $90^\circ$ , и согласно рис. 2 их можно отождествить с направлениями ОЛН, т. е. с осями типа [110]. Если бы перемагничивание происходило смещением только 180-градусных ДС, то на экране наблюдалась бы горизонтальная линия. Наблюдаемый сигнал (рис. 3, а, точки 1 и 2) обусловлен смещением 90-градусных ДС, которые имеются в клиновидных доменах, возникающих в процессе перемагничивания.

При малом отклонении от ОЛН ( $\pm 2^\circ$ ) (рис. 3, б, в) петля гистерезиса становится биполярной и меняет фазу при переходе через  $\varphi = 0$ . Столь резкое изменение формы петли гистерезиса позволяет легко определить ориентацию ОЛН с точностью  $\pm 1^\circ$ .

При углах  $\varphi$ , близких к  $45^\circ$ , петля гистерезиса является прямоугольной. Переход через размагниченное состояние происходит в отрицательном поле коэрцитивной силы  $H_x$  одним или несколькими скачками. Перемагничивание осуществляется в основном смещением 90-градусных ДС, параллельных кристаллографическим направлениям [100].

Наблюдаемая в остаточном состоянии доменная структура, а также петли гистерезиса  $M_z(H_x, \varphi)$  указывают на то, что в плоскости пленки существует двухосная анизотропия, характерная для плоскости (100) кубического кристалла.

Заметим при этом, что для наблюдения петли гистерезиса  $M_z(H_x)$  очень важно, чтобы нормаль к пленке (ось  $z$ ) была ориентирована строго по лазерному лучу ( $\psi = 0$ ). При  $\psi \neq 0$  основной вклад в фарадеевский сигнал будет давать большая плоскостная компонента  $M_x$ .

При перемагничивании пленки в присутствии постоянного магнитного поля  $H_z \ll H_K$  петли гистерезиса  $M_z(H_x)$  сдвигаются по полю  $H_x$  без изменения амплитуды петли и ее формы в ту или иную сторону в зависимости от направления поля  $H_z$ . Исключение представляет случай перемагничивания вдоль ОЛН ( $\varphi = 0$ ), когда форма петли гистерезиса меняется. При этом малые неустойчивые сигналы перемагничивания (рис. 4, а, точки 1 и 2) преобразуются в две прямоугольные однополярные петли гистерезиса (рис. 4, б, в), а сами петли смещаются

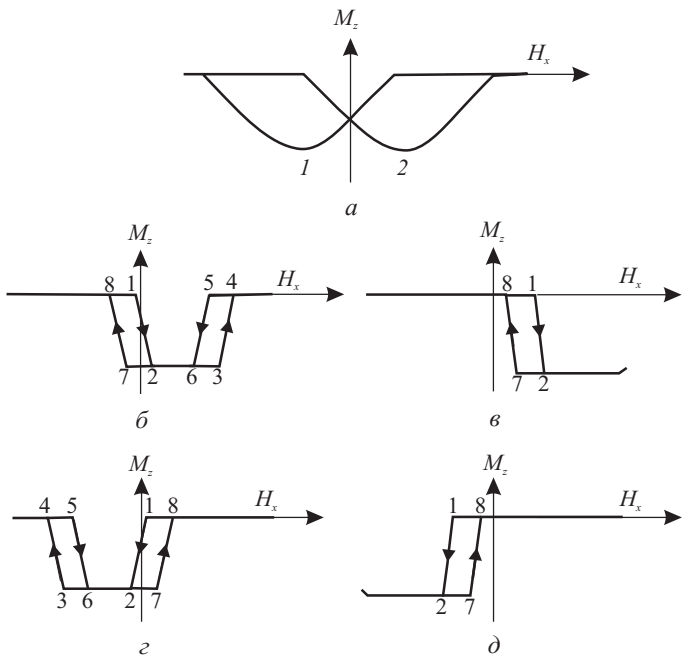


Рис. 4. Поперечные петли гистерезиса  $M_z(H_x)$  для образца № 8 при амплитуде переменного поля  $H_x = 7.5$  Э и азимутальном угле  $\varphi = 0$  при различных значениях постоянного магнитного поля  $H_z$ : 0 (а),  $+60$  (б),  $+70$  (в),  $-60$  (г) и  $-70$  Э (д). Цифрами показана последовательность изменения сигнала перемагничивания

по полю  $H_x$ . Первая ветвь (1-2-7-8) и вторая ветвь (5-6-3-4) прямоугольных петель разделены горизонтальной ступенькой, которая соответствует размагниченному состоянию образца. Каждому значению поля  $H_z$  соответствует поле  $H_x(0)$ , при котором процесс перехода из размагниченного в состояние насыщения еще не происходит; вторая ветвь 3-4-5-6 на рис. 4, в, д в отличие от рис. 4, б, г отсутствует. Другими словами, перемагничивание происходит по частному циклу.

### Критические кривые перемагничивания

Наблюдение доменной структуры показывает, что малое поле  $H_z \ll H_K$  вызывает смещение ДС, при этом контраст не меняется, т. е. вращения вектора  $\mathbf{M}_s$  не происходит. Петля гистерезиса  $M_z(H_x)$  под воздействием поля  $H_z$  смещается по полю  $H_x$ , при этом форма петли остается неизменной. Это важное обстоятельство связано с движением ДС и отсутствием вращения вектора  $\mathbf{M}_s$  в доменах.

В нашем случае вектор  $\mathbf{M}_s$  ориентирован в плоскости ( $x, z$ ) так, что

$$M_x = M_s \cos \theta_0, \quad M_y = 0, \quad M_z = M_s \sin \theta_0.$$

Изменение компонент намагниченности определяется тензором восприимчивости процесса смещения

доменных стенок

$$\chi_d = \begin{pmatrix} \chi_{11} & 0 & \chi_{13} \\ 0 & 0 & 0 \\ \chi_{31} & 0 & \chi_{33} \end{pmatrix},$$

поскольку восприимчивость процесса вращения вектора намагниченности

$$\chi_r = 4\pi \frac{M_s}{H_K} \approx 0.1 \div 0.2$$

значительно меньше. Здесь  $i_{ij} = \partial M_i / \partial H_j$ ,  $\chi_{11} = \chi_{xx}$ ,  $\chi_{13} = \chi_{xz}$ ,  $\chi_{31} = \chi_{zx}$ ,  $\chi_{33} = \chi_{zz}$ .

Тогда изменения компонент намагниченности составляют:

$$\Delta M_z = \chi_{zx} H_x + \chi_{zz} H_z, \quad (1)$$

$$\Delta M_x = \chi_{xx} H_x + \chi_{xz} H_z. \quad (2)$$

Путем несложных преобразований из (1) и (2) получаем, что

$$\chi_{zz} = \chi_{zx} \operatorname{tg} \theta_0. \quad (3)$$

Легко измеряемой характеристикой сдвига петли гистерезиса является критическое поле  $H_x(0) = f(H_z)$  и  $H_z(0) = f(H_x)$  перехода намагниченности через нуль (размагнченное состояние),  $\Delta M_z = 0$ . Из (1) и (3) получаем

$$\Delta M_z = \chi_{zx} H_x + \chi_{zz} H_z = \chi_{zz} \left[ H_z(0) + \frac{H_x(0)}{\operatorname{tg} \theta_0} \right] = 0, \quad (4)$$

так что

$$|\operatorname{tg} \theta_0| = \frac{H_x(0)}{H_z(0)}. \quad (5)$$

Критические кривые для двух образцов приведены на рис. 5 и 6. Видно, что на каждом рисунке все прямые имеют практически одинаковый наклон. Рассчитанные по критическим кривым значения угла  $\theta_0$  составляют  $1.77^\circ \pm 0.12^\circ$  для образца № 7 и  $2.83^\circ \pm 0.12^\circ$  для образца № 8. В предположении, что вектор  $\mathbf{M}_s$  лежит в «легкой плоскости», угол  $\theta_0$  можно рассматривать как угол отклонения «легкой плоскости» от плоскости пленки. Значения  $\theta_0$  для всех исследованных образцов даны в таблице.

Необходимо отметить, что на образцах № 2 и № 3 (см. таблицу) были проведены исследования переходных процессов, вызываемых магнитными полями, параллельными плоскости пленки [7]. Оказалось, что характер этих процессов зависит от направления плоскостных полей. В данных экспериментах были выявлены два направления ОЛН и ОТН, которые с достаточной точностью совпадают с направлениями, определенными магнитооптическим методом в настоящей работе.

Изучение частотной зависимости свободных колебаний, возбуждаемых импульсом плоскостного поля от напряженности постоянного поля [8], позволило найти в этих же пленках поле анизотропии в плоскости пленки, которое оказалось равным  $(40.0 \pm 0.4)$  Э.

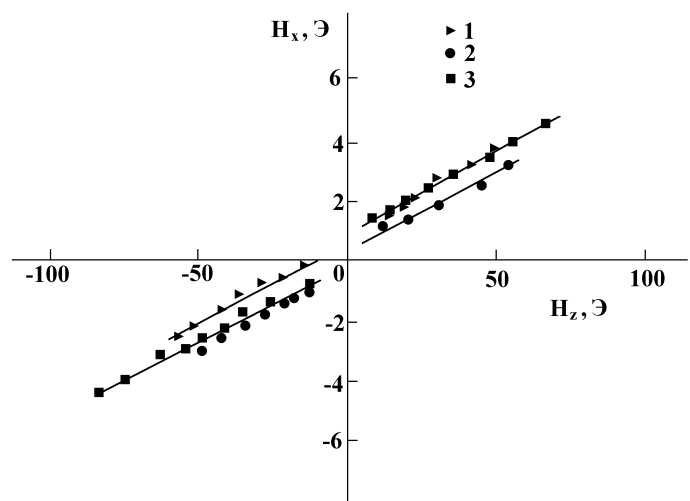


Рис. 5. Критические кривые  $H_x(0) = f(H_z)$  перехода через размагнченное состояние при азимутальном угле  $\varphi = 45^\circ$  (кривые 1 и 2) и критическая кривая  $H_x(0) = f(H_z)$  зарождения второй ветви петли гистерезиса при азимутальном угле  $\varphi = 0$  (кривая 3) для образца № 7

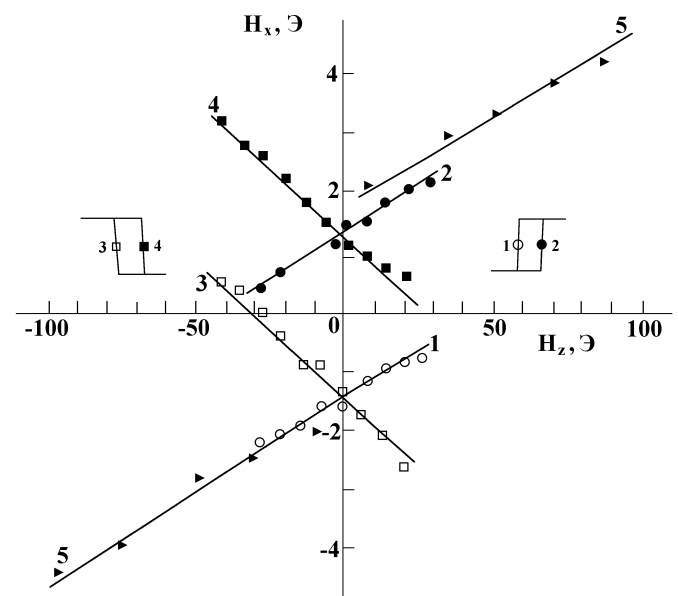


Рис. 6. Критические кривые  $H_x(0) = f(H_z)$  перехода через размагнченное состояние при  $\varphi = +20^\circ$  (кривые 1 и 2) и  $\varphi = -20^\circ$  (кривые 3 и 4) и критическая кривая  $H_x(0) = f(H_z)$  зарождения второй ветви петли гистерезиса (кривая 5) для образца № 8. Показана форма петель гистерезиса и точки 1-4, положение которых отслеживали при варьировании постоянного магнитного поля  $H_z$

## Выводы

Проведенные исследования Lu- и Tm-содержащих эпитаксиальных Вс-МПФГ с ориентацией (100) показали следующее.

1. Вектор намагниченности  $\mathbf{M}_s$  отклоняется от плоскости пленки на малый угол  $\theta_0$ , а доменные

стенки, параллельные оси типа [110], являются  $(180 - 2\theta_0)$ -градусными.

2. Предложены достаточно точные методы (не хуже  $\pm 1^\circ$ ) определения ориентации ОЛН в плоскости пленки и угла  $\theta_0$ .

3. Зависимости критических полей  $H_x(0) = f(H_z)$  перехода через размагниченное состояние являются линейными с тангенсом угла наклона

$$\operatorname{tg} \theta_0 = \frac{M_z}{M_x} = \frac{H_x(0)}{H_z(0)}.$$

4. Обнаружено, что угол  $\theta_0$  отклонения «легкой плоскости» от плоскости пленки лежит в пределах  $1.5^\circ \div 5.0^\circ$ .

Авторы выражают искреннюю благодарность О. С. Колотову за обсуждение результатов работы и ценные замечания.

#### Литература

1. Antonov A.V., Gusev M.U., Il'yashenko E.I. et al. // Digests of Int. Symp. on Magneto optics (ISMO-91). Kharkov (USSR), 1991. P. 70.
2. Klank M., Hagedorn O., Shamonin M. et al. // J. Appl. Phys. 2002. **92**, N 11. P. 6484.
3. Рандошкин В.В., Гусев М.Ю., Козлов Ю.Ф., Неустров Н.С. // ЖТФ. 2002. **70**, № 8. С. 19.
4. Дурасова Ю.А., Ильичева Е.Н., Клушина А.В. и др. // Заводская лаборатория. Диагностика материалов. 2001. **67**, № 7. С. 27.
5. Goa E., Hauglin H., Baziljevich M. et al. // Supercond. Sci. Techn. 2001. **14**. P. 729.
6. Il'yicheva E.N., Il'yashenko E.I., Nyenhuis J.A. et al. // MMM Conference, Miami, Florida, USA, November 1998. Paper DU-03.
7. Дурасова Ю.А., Ильичева Е.Н., Ильяшенко Е.И. и др. // Сб. тр. XVIII междунар. школы-семинара «Новые магнитные материалы микроэлектроники». М., 2002. С. 477.
8. Ильичева Е.Н., Ильяшенко Е.И., Колотов О.С. и др. // ФТТ. 2002. **45**, № 6. С. 1037.

Поступила в редакцию  
07.07.05